

УДК 620.197.3

И. Н. Курмакова, канд. хим. наук

Черниговский национальный педагогический университет имени Т.Г. Шевченко, Украина

А. А. Королев, канд. техн. наук**О.И. Сизая**, докт. техн. наук

Черниговский государственный технологический университет, Украина

ИНГИБИРУЮЩЕЕ ДЕЙСТВИЕ БРОМИДА ИМИДАЗОАЗЕПИНИЯ ПРИ КИСЛОТНОМ ТРАВЛЕНИИ СТАЛИ

Исследованы противокоррозионные свойства бромидов 1-(4-этоксифенил)-2-(1,4-бенздиоксан-6-ил)-2-гидрокси-2,3,6,7,8,9-гексагидро-5H-имидазо[1,2-a]зепиния в хлоридной среде при pH 0-2. Установлено, что при концентрации 1,2 ммоль/л защитный эффект составляет 97,3% и увеличивается при повышении температуры (98,2% при 333К). Высокое защитное действие объяснено с привлечением результатов расчетов зарядов на адсорбционно-реакционных центрах молекулы (Chem3D, метод MOPAC, PM3) и оценки влияния ингибитора на величину краевого угла смачивания.

Постановка проблемы

Азотсодержащие гетероциклы – производные имидазола, бензимидазола, пиридина известны как высокоэффективные ингибиторы (Ин) коррозии, хорошо зарекомендовавшие себя в противокоррозионной практике [1]. В рядах четвертичных солей с конденсированным имидазоазепиниевым циклом найдены соединения, проявляющие высокий защитный эффект при ингибировании кислотной коррозии углеродистой стали [2-4]. При этом механизм ингибирующего действия указанных солей изучен недостаточно, не рассмотрено их влияние на смачивание поверхности металла агрессивной средой, поверхностное натяжение и коэффициент растекания. Исследование противокоррозионных свойств и поверхностной активности бромидов 1-(4-этоксифенил)-2-(1,4-бенздиоксан-6-ил)-2-гидрокси-2,3,6,7,8,9-гексагидро-5H-имидазо[1,2-a]зепиния позволит расширить арсенал ингибиторов кислотной коррозии и с привлечением полученных ранее результатов установить корреляционные зависимости, позволяющие прогнозировать ингибирующее действие производных бромидов имидазоазепиния.

Анализ последних исследований и публикаций

Квантовохимические расчеты стали важной составляющей исследований, связанных с ингибированием коррозии металла [5-8]. Они позволяют не только оценить механизм адсорбции ингибиторов на поверхности металла, установить закономерности «структура – свойства», но и прогнозировать ингибирующее действие не исследованных ранее соединений.

Изыскание новых ингибиторов кислотной коррозии особенно перспективно в рядах азотсодержащих гетероциклических соединений с разными, в том числе ароматическими, заместителями, что способствует проявлению эффекта внутримолекулярного синергизма.

В представленной работе исследовалось производное ряда бромидов имидазоазепиния (БИА) с заместителем, представляющим собой конденсированную систему бензольного и диоксанового циклов, что обеспечивает большее экранирование поверхности молекулой ингибитора и соответственно большие защитные свойства.

Формулирование целей статьи

Цель работы – исследование ингибирующего действия четвертичной соли имидазоазепиния при кислотном травлении углеродистой стали в кислых хлоридных растворах и выявление корреляционной зависимости коэффициента ингибирования от заряда на

адсорбционных центрах молекулы в ряду реакционной серии бромидов 1-(4-этоксифенил)-2-гидрокси-2,3,6,7,8,9-гексагидро-5Н-имидазо[1,2-а]азепиния.

Изложение основного материала исследований

Структурная формула соединения, исследованного в работе (любезно предоставлено проф. А.М.Демченко), с указанием величины зарядов на основных адсорбционно-реакционных центрах (Chem3D, метод МОРАС, РМ3) приведена на рис. 1.

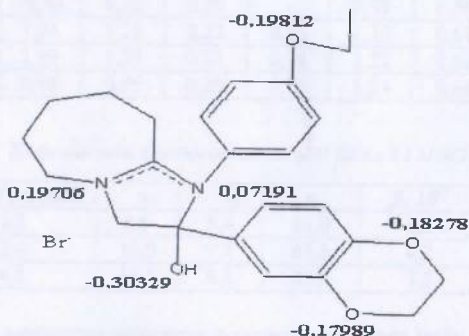


Рис. 1. Заряды на реакционно-адсорбционных центрах БИА

Выбранная четвертичная соль является представителем серии веществ, исследованных в [3]. Наличие в структуре соединений этой реакционной серии гетероатомов, в том числе азота и кислорода, бензольных колец, гидроксильной группы, делает их перспективными ингибиторами с высокой противокоррозионной активностью.

Ингибирующее действие БИА на коррозию стали 45 оценивали гравиметрическим ($C_{ин} = 0,5$ г/л) и электрохимическим ($C_{ин} = 1,2-4,8$ ммоль/л) методами [9]. Коррозионная среда – растворы HCl (10%-ный и с pH 0-2). Температура – 293; 313 и 333 К. Защитный эффект рассчитывали по формуле $Z_m = (1 - 1/\gamma_m) \times 100\%$, где γ_m – коэффициент торможения коррозии. Поляризационные кривые (потенциостат П-5848) снимали от стационарного потенциала (80 мВ/мин) с применением стеклянной трехэлектродной электрохимической ячейки с разделенными катодным и анодным пространствами на торцевом электроде из стали 45, впрысываемом во фторопластовый кожух. Электрод сравнения – хлорид-серебряный, вспомогательный – платиновый. Потенциал рабочего электрода пересчитывали на стандартную водородную шкалу. По поляризационным кривым определяли потенциал (ϕ_0) и ток (I_c) электрохимической коррозии, катодного (I_k при $\phi_k = -0,5$ В) и анодного (I_a при $\phi_a = -0,14$ В) парциальных процессов, коэффициенты торможения $\gamma_c, \gamma_k, \gamma_a$ ($\gamma = I'/I$, где I, I' – ток коррозии без ингибитора и в присутствии ингибитора соответственно), величину смещения адсорбционного потенциала ($\Delta\psi$). Константы уравнения Тафеля (a_c, a_a, b_c, b_a) определяли при математической обработке (Microsoft Excel) экспериментальных значений тока и потенциала (5-7 точек), соответствующих начальным прямолинейным участкам катодной и анодной поляризационных кривых. Рассчитывали также коэффициенты катодно-ингибиторной ($\beta_c = I_c/I'$) и катодной ($\beta_{ин} = I_c/I'$) защиты, где I' – скорость растворения стали при $\phi_k = -0,5$ В в ингибированной среде.

Механизм ингибирования устанавливали по характеру спада катодного тока (на 0,6 В отрицательнее стационарного) при введении ингибитора в перемешиваемый раствор фона [1]. Коэффициент аппроксимации (R^2) рассчитывали для зависимостей: $\ln I' f(t), \Delta I$

$f(\ln \tau)$, $\ln \Delta I$ $f(\ln \tau)$, $\ln \ln I / I \infty - f(\tau)$, $\ln \gamma$ $f(\ln \tau)$, $\ln \ln \gamma$ $f(\ln \tau)$ с использованием программы Microsoft Excel.

Адсорбцию БИА на стали оценивали по величине краевого угла смачивания (θ) с учетом угла натекания и оттекания и величине поверхностного натяжения (σ), которое определяли сталагмометрическим методом. Работу адгезии ($W_a = \sigma \cos \theta$), когезии ($W_k = 2\sigma$) и коэффициент растекания по Гаркинсу ($f = W_a / W_k$) рассчитывали согласно [10].

Исследование БИА показало высокую противокоррозионную эффективность, что превосходит изученные ранее бромиды имидазо[1,2-а]азепиния [3]. Так, при концентрации 1,2 ммоль/л в 10% HCl защитное действие на стали 45 по результатам гравиметрии – 97,3%; 97,4% и 98,2% при 293 К; 313 К и 333 К соответственно. Рассчитанная энергия активации коррозионного процесса в присутствии БИА на 3 кДж/моль меньше, чем в неингибированном растворе HCl, что можно объяснить значительным тепловым эффектом при хемосорбции молекулы на поверхности стали.

Результаты электрохимических исследований процесса коррозии стали в присутствии БИА представлены на рис. 1, 2 и в табл. 1, 2 в табл. 1, 2.

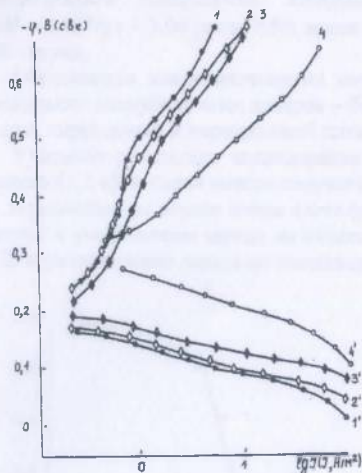


Рис. 1. Поляризационные катодные (1-4) и анодные (1'-4') кривые стали 45 в 0,1М HCl при изменении концентрации БИА: 1,1'- 1,2 ммоль/л; 2,2'- 2,4 ммоль/л; 3,3'- 4,8 ммоль/л; 4,4'- без БИА.

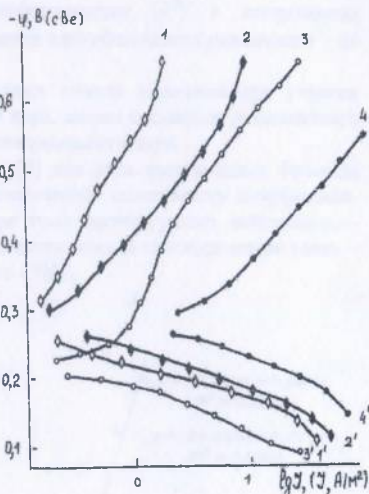


Рис. 2. Поляризационные катодные (1-4) и анодные (1'-4') кривые стали 45 в растворах HCl: 1,1'; 2,2'- рН=2; 3,3'; 4,4'- рН=0; 1,1'; 3,3'- с добавкой 1,2 ммоль/л БИА; 2,2'; 4,4'- без БИА

В ингибированном растворе потенциал электрохимической коррозии в зависимости от концентрации БИА выше на 70-90 мВ, что указывает на преимущественное торможение процесса окисления металла возле фс. Константы уравнения Тафеля a_k и a_a увеличиваются в ингибированном растворе на 110-320 мВ. Исследованная соль является ингибитором смешанного типа с преимущественным торможением анодного процесса.

При этом коэффициент катодно-ингибиторной защиты на порядок больше, чем катодной (табл. 2).

Таблица 1

Кинетические параметры сопряженных электродных процессов стали 45 в 0,1 М НСl

C·10 ³ моль/л	Плотность тока, А/м ²			-φ _с , В	ΔΨ', В	Константы уравнения Тафеля			
	I _с	I _а	I _к			a _к	a _а	b _к	b _а
	0,48	79,43	9,12	0,29		0,92	0,56	0,16	0,06
1,2	0,07	7,24	1,70	0,22	0,16	1,19	0,61	0,20	0,04
2,4	0,04	1,29	1,29	0,21	0,18	1,22	0,65	0,20	0,04
4,8	0,03	0,95	0,95	0,20	0,25	1,24	0,66	0,20	0,04

Таблица 2

Коэффициенты ингибирования стали 45 БИА в 0,1 М НСl (293К)

С _{ин} ·10 ³ , моль/л	γ _с	γ _к	γ _а	β _с ·10 ⁸	β _{кн} ·10 ⁹
1,2	6,9	5,4	11,0	1,2	1,7
2,4	12,0	7,1	61,6	4,2	3,9
4,8	16,0	9,6	83,6	7,5	5,0

Кинетические параметры катодного выделения водорода (табл. 3) указывают на изменение механизма катодного процесса, который при действии БИА реализуется как смешанный – «замедленный разряд рекомбинация».

Таблица 3

Кинетические параметры катодного выделения водорода

Характеристика	Фон	БИА	Теория	
			замедленный разряд	замедленная рекомбинация
dφ _к /dφН	0,13	0,10	0,12	0,06
dI _к /dφН	0,87	0,55	1,00	0,50
dφ _к /dI _к	0,16	0,20	0,12	0,06

С увеличением рН кислоты ингибирующее действие БИА уменьшается (рис. 2, 3), что указывает на адсорбцию молекул БИА на поверхности стали в виде катиона и согласуется с положительными значениями ΔΨ' (табл. 1).

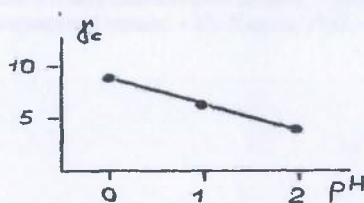


Рис. 3. Зависимость коэффициента торможения электрохимической коррозии от pH раствора НСl

Адсорбции ингибитора способствует его поверхностная активность. Введение БИА в раствор HCl снижает поверхностное натяжение на 8,7%, увеличивает работу адгезии W_a на 2,6%, снижает работу когезии W_c на 8,6%. В результате коэффициент растекания по Гаркинсу увеличивается с -24,8 до -9,2, т.е. на 62,9% (рис. 4).



Рис. 4. Капля 0,1М HCl на поверхности стали: а) без ингибитора; б) с 0,5 г/л БИА.

Исследование кинетики спада тока при катодной поляризации электрода позволило установить блокировочное действие при хемосорбции БИА на экспоненциально-неоднородной поверхности. Коэффициент аппроксимации (R^2) в координатах $lg\Delta I = 0,055lg\tau + 3,06$ равен 0,98; время установления адсорбционного равновесия – до 200 секунд.

Образование макроциклических металлохелатных пленок возможно при участии нескольких адсорбционных центров – бензолные ядра, атомы кислорода диоксанового цикла, пиррольный и пиридиновый атомы азота имидазольного ядра.

Учитывая результаты исследования и данные [3] для ряда производных бромид а имидазо[1,2-а]зепиния можно получать корреляционные зависимости коэффициента торможения от заряда атома азота (рис. 5). При этом ингибирующее действие возрастает с увеличением заряда на общем для конденсированной системы атоме азота – N(2) и уменьшением заряда на имидазольном азоте – N(1).

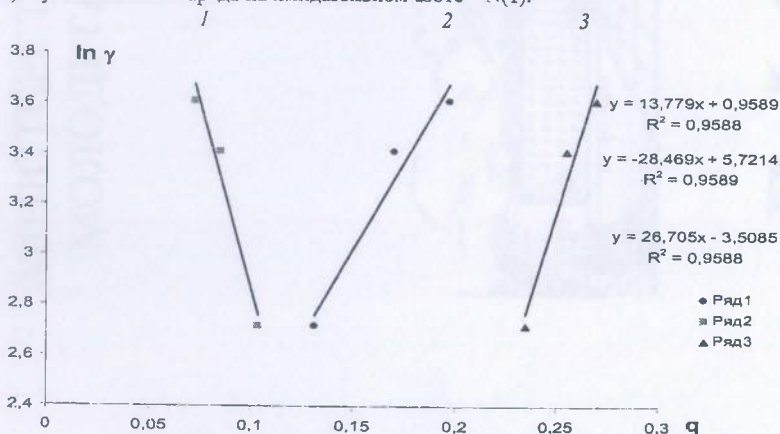


Рис. 5. Зависимость коэффициента торможения коррозии от заряда:

$$1 - \ln \gamma_m \quad q N(1); \quad 2 - \ln \gamma_m - q N(2); \quad 3 - \ln \gamma_m \quad (q N(1) + q N(2)).$$

Установленная корреляция позволяет сделать вывод, что образование адсорбционных соединений металл-БИА происходит с участием азота имидазольного цикла N(1) по донорно-акцепторному механизму с передачей электронов на свободные орбитали железа. Общей для гетерогенной системы атом азота N(2), имеющий большой положительный заряд, отвечает за электростатическое взаимодействие молекулы с отрицательно заряженной в соляной кислоте поверхностью металла.

Выводы

Исследования показали, что бромид 1-(4-этоксифенил)-2-(1,4-бенздиоксан-6-ил)-2-гидрокси-2,3,6,7,8,9-гексагидро-5Н-имидазо[1,2-а]азепиния является эффективным ингибитором коррозии малоуглеродистых сталей как при комнатной, так и повышенных температурах ($Z_m = 97,3\%$; $97,4\%$ и $98,2\%$ при 293; 313 и 333К соответственно).

Введение данного ингибитора в раствор *HCl* снижает поверхностное натяжение на 8,7%. В результате коэффициент растекания по Гаркинсу увеличивается на 62,9%.

Предложенный ингибитор может быть рекомендован для обработки технологических сред с целью обеспечения качества процессов и защиты оборудования.

Список литературных источников

1. Решетников С.М. Ингибиторы кислотной коррозии металлов. –Л.. Химия, 1986. – 144с.
2. Грузнова С.В., Курмакова И.Н., Демченко А.М. и др. //Защита металлов. –1992 – Т.28. № 6. –С.1020 – 1023.
3. Курмакова И.Н., Грузнова С.В., Демченко А.М. и др. //Защита металлов. –1994. – Т.30, № 5. –С.550 – 551.
4. Старчак В.Г., Курмакова И.Н., Челябинева В.Н. и др. //ЖПХ. –1996. –Т.69 № 9. – С.1496 – 1500.
5. Колотыркин Я.М. Успехи и задачи развития теории коррозии //Защита металлов. – 1980. –Т.16, № 6. –С.660 – 668.
6. Авад Г.Х., Асад А.Н., Абдель А.М., Масуд С.С. //Защита металлов – 1997. – Т.33. №6. – С.565-572.
7. Бугай Д.Е., Габитов Л.И., Бреслер И.Г. и др. //ДАН СССР – 1990. – Т.314. №2. – С.384-386.
8. Дорошенко Т.Ф., Скрышник Ю.Г., Лящук С.Н. // Защита металлов. – 1995. – Т.31. №4. – С.360-364.
9. Фрейман Л.И., Макаров В.А., Брыксин И.Е. Потенциостатические методы в коррозионных исследованиях в электрохимической защите. – Л. Химия, 1972. – 240с.
10. Фролов Ю.Г. Курс коллоидной химии. – М.. Химия, 1982. – 400с.